

- [18] Rosenberg R.A., Wen C.R. // Phys. Rev. 1989. V. B39. P. 6630.
- [19] Зигбан К., Норлинг К. и др. Электронная спектроскопия. М.: Мир, 1971. 493 с.
- [20] Solomon J.S., Grant J.T. et al. // J. Vac. Sci. Technol. 1985. V. A3. N 2. P. 373.

Поступило в Редакцию
2 февраля 1990 г.

Письма в ЖТФ, том 16, вып. 11

12 июня 1990 г.

07

© 1990

ЧАСТОТНЫЙ ОПТИЧЕСКИ УПРАВЛЯЕМЫЙ ЛАЗЕР НА АИГ : Nd³⁺

Л.М. Б а л я с н ы й, М.А. Г р о з н о в,
Б.С. Г у б а н о в, А.В. З о р я,
В.С. М ы л ь н и к о в, Б.П. Р е г е л ь м а н,
И.В. О с и н, С.В. С у р е н с к и й

За последние годы появился ряд работ, посвященных использованию светоуправляемых пространственно-временных модуляторов света (ПВМС) в качестве модовых селекторов импульсных лазеров [1, 2].

Настоящая работа является продолжением этих исследований, при этом нами впервые изучена оптическая неоднородность ПВМС типа металл-диэлектрик-полупроводник-жидкий кристалл (МДП-ЖК) [3], которые использовались в качестве внутрирезонаторных светоуправляемых зеркал импульсных лазеров, и показана возможность создания на основе МДП-ЖК модуляторов частотного (до 20 Гц) оптически управляемого лазера на АИГ : Nd³⁺ ($\lambda = 1.06 \text{ мкм}$, $T = 100 \text{ мкс}$).

На рис. 1 изображен резонатор, содержащий активный элемент, поляризатор, два сферических зеркала, два плоских зеркала, расположенные в фокальной плоскости сферических зеркал. Резонатор представляет собой оптическую систему, проецирующую каждую точку зеркала I в единственную точку зеркала VI и наоборот. Отличие от аналогичной схемы, указанной в работе [2], состоит в том, что вместо двух элементов (глухого зеркала и ПВМС) использовался один, объединяющий их в едином узле – оптически управляемом зеркале (ОУЗ). Оптически-управляемое зеркало представляет собой многослойную структуру (МДП-ЖК модулятор на S-эффекте); прозрачные электроды (In_2O_3)_{-1.8}; ориентант-поливиниловый спирт (ПВС)-2.4; нематический жидкий кристалл – 9; тef-

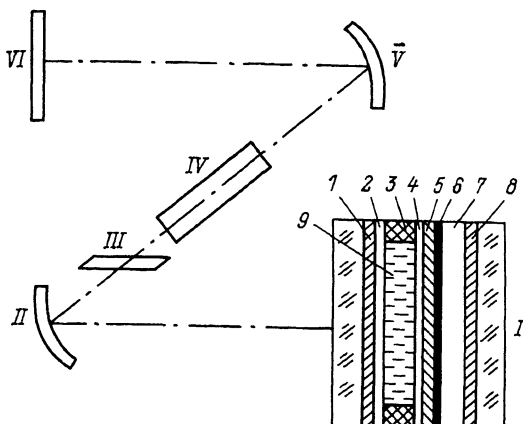


Рис. 1. Схема сопряженного резонатора с оптическим управляемым зеркалом (ОУЗ).

I - ОУЗ; II, V - сферические зеркала; III - поляризатор; IV - активный элемент; VI - выходное зеркало.

лоновой прокладки - 3; внутреннее разделительное зеркало (SiO_2-ZrO_2); светоблокирующий слой (MgF_2) - 6; фоточувствительный слой ($GaAs$) - 7.

Запись на ОУЗ осуществлялась излучением Не-Не лазера ($\lambda = 0.63$ мкм). Модулятор на считывающей длине волны ($\lambda = 1.06$ мкм) обладал следующими характеристиками: время включения $t_{вкл} = 10$ мс, время выключения $t_{выкл} = 23$ мс, реверсивность $F > 20$ Гц, напряжение и частота питания $U = 5-80$ В и $f = 2-50$ кГц, максимальное значение записанного контраста $K_{зап} = 4$, чувствительность $S \geq 3 \cdot 10^{-5}$ Дж/см².

Невысокая пространственная однородность пропускания Т модулятора рис. 2 вызвала необходимость диафрагмировать рабочую область (диаметр не превышал 2 мм), но даже при этом неравномерность пропускания ПВМС в отсутствии записывающего излучения составляла 20-40 %. Полученные значения неоднородности в 3-5 раз хуже, чем у ПВМС с напыленными фоточувствительными слоями, например с халькогенидным стеклообразным проводником [4]. Как установлено в [4], основной вклад в неоднородность пропускания вносит фоточувствительный слой, а в случае с МДП-ЖК модулятором приклеенный и отполированный монокристалл $GaAs$, который имеет клин, остаток грязи и пыли на границе раздела с ЖК, постепенно отслаивается и потрескивается по всей рабочей апертуре.

Минимальное значение $K_{зап}$, при котором наблюдалась устойчивая генерация, составляла 2 : 1. Напряжение и частота питания ПВМС подбирались таким образом, что в отсутствии управляющего

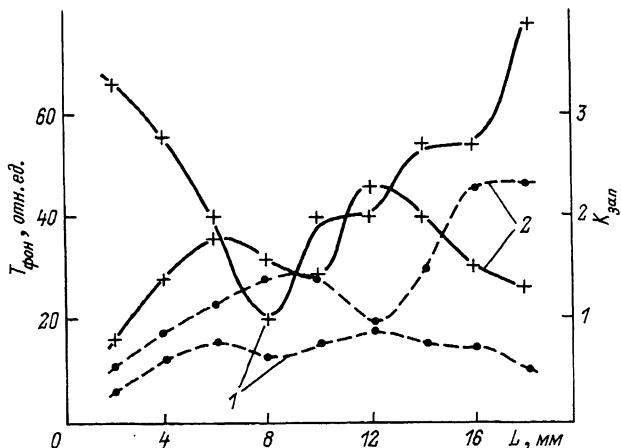


Рис. 2. Пространственная неоднородность пропускания T вдоль по рабочей апертуре L оптически управляемого зеркала при наличии записывающего сигнала (непрерывная кривая - $K_{зап}$) и без него - фон (пунктир - $T_{фон}$). Кривые 1 и 2 соответствуют точкам, сдвинутым друг относительно друга на 3 мм.

сигнала порог генерации не достигается. Лазер (с активным элементом из АИГ: Nd^{3+} диаметром 8 мм и длиной 100 мм) имел фокусное расстояние зеркал сопряженного резонатора 260 мм; коэффициент отражения выходного зеркала $R_{вых} = 71\%$, длительность импульса генерации $\tau = 100$ мкс.

Перед постановкой ОУЗ в резонатор было проведено исследование пространственного распределения генерации на торце выходного зеркала лазера. В этом случае вместо ОУЗ устанавливалось глухое зеркало, перед которым внутри резонатора помещалась сканирующая диафрагма диаметром α от 0.5 до 2 мм. Полученное пространственное распределение генерации представлено на рис. 3.

В случае с ОУЗ плотность энергии генерации была 5–10 мДж/см² и ограничивалась лучевой стойкостью ПВМС, которая составляла $W \leq 70$ мДж/см² под воздействием 20–40 импульсов генерации. Оценим максимальную теоретическую плотность энергии генерации W_{max} , которую можно было считать с ОУЗ:

$$W_{max} = \frac{W(1-R_{вых})}{2\sqrt{R_{вых}}} \approx 12 \frac{\text{мДж}}{\text{см}^2}, \quad (1)$$

где $W = 70$ мДж/см², $R_{вых} = 71\%$.

Максимальный коэффициент усиления по яркости, считываемого с ОУЗ изображения точки, составил:

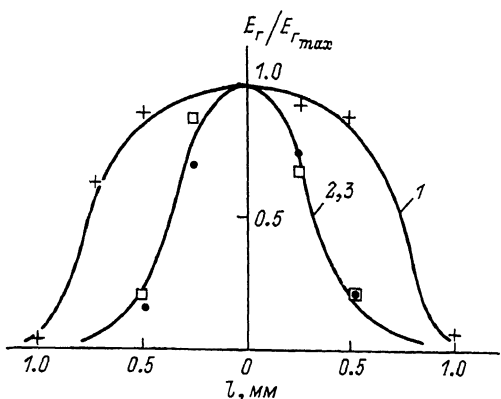


Рис. 3. Распределение энергии генерации на торце выходного зеркала при различных диаметрах сканирующей диафрагмы. Кривая 1 - $d = 1.5$ мм, 2 - $d = 1$ мм, 3 - $d = 0.7$ мм.

$$N = \frac{W}{S_{min}} = \frac{10^{-2} \text{ Дж/см}^2}{3 \cdot 10^{-5} \text{ Дж/см}^2} \simeq 300. \quad (2)$$

Частоту импульсов генерации можно было изменять от 0.1 Гц и выше, при этом она ограничивалась реверсивностью ОУЗ (~ 20 Гц).

Таким образом, в работе показана возможность использования МДП-ЖК модуляторов на S -эффекте с внутренним разделительным зеркалом в качестве оптически управляемых зеркал частотных лазеров на АИГ: Nd^{3+} . Установлено, что максимальная энергия свободной генерации лазера ~ 10 мДж/см² ограничивалась лучевой стойкостью ориентанта (≤ 70 мДж/см²) – поливинилового спирта. Оптическая неоднородность модулятора составляла 20–40%, что связано с наличием приклеенного моноокристаллического слоя $GaAs$. Частота работы лазера определялась предельной реверсивностью ПВМС (~ 20 Гц).

Список литературы

- [1] Владимир Ф.Л. и др. // Квантовая электроника. 1985. Т. 12. № 10. С. 2071–2076.
- [2] Владимир Ф.Л. и др. // Труды ГОИ, Л., 1986. Т. 50. В. 1949. С. 73–81.
- [3] Васильев А.В. и др. Пространственные модуляторы света. М.: Радио и связь, 1987. 320 с.
- [4] Гроэн М.А. и др. Тез. докл. 1 Всес. конф. по оптической обработке информации. Л.: ЛИАП, 1988, ч. II, с. 46.

Поступило в Редакцию

15 июня 1989 г.

В окончательной редакции
28 февраля 1990 г.